Mexaus

Г. С. ВАРДАНЯН, В. Д. ШЕРЕМЕТ

ПРИМЕНЕНИЕ МЕТОДА ФОТОУПРУГОСТИ К ОПРЕДЕЛЕНИЮ НАПРЯЖЕНИЙ В БЕТОННЫХ КОНСТРУКЦИЯХ ОТ ВЫНУЖДЕННЫХ ДЕФОРМАЦИЙ В УСЛОВИЯХ ПОЛЗУЧЕСТИ

Расчет папряжений в бстонных конструкциях, вызванных выпужденными деформациями с учетом свойств ползучести и старения бетона, обычно ведется по теории Г. Н. Маслова—Н. Х. Арутюняна. В ряде случаев при сложных граничных условиях и форме конструкции теоретические расчеты могут привести к непреодолимым математическим трудностям.

В этих случаях могут оказаться эффективными экспериментальные методы исследования напряжений на моделях, среди которых
наиболее перспективным является поляризационно-оптический метод
исследования напряжений (метод фотоупругости).

В настоящее время имеются работы, посвященные применению поляризационно-оптического метода к непосредственному моделированию ползучести бетона [3, 6]. Основная трудность, возникающая при таком моделировании получение оптически-чувствительного материала для модели с реологическими снойствами, подобными свойствам бетона.

В данной работе предлагается метол, не требующий материала для модели со специальными реологическими свойствами. Достаточно иметь упругий оптически-чувствительный материал, применяемый и обычном методе фотоупругости.

Метод основан на теореме Н. Х. Арутюняна, устанавлинающей снязь между компонентами полных напряжений в работе z^* (t), отыскиваемых с учетом линейной ползучести, и соответствующими упругомповенными напряжениями для этого же тела [2]. На основании этой теоремы, с учетом обобщений С. В. Александронского [1], напряжения (t), вызываемые вынужденными деформациями (температурные воздействия, усадка, осадка опор и др.) с учетом ползучести и изменяемости модуля E(t), при свободной от напряжений границе или наличии жестких связей на всей границе тела или ее части, определяются через соответствующие напряжения z_t , (t) упруго-мгновенной задачи этого же тела с помощью следующей системы интегральных уравнений:

$$\frac{\sigma_{ij}(t)}{E(t)} = (1 - R^*) \frac{\sigma_{ij}(t)}{E(t)}$$

$$(i, j = x, y, z)$$
(1)

где R^4 интегральный оператор с ядром R^{14} причем

$$R^* f(t) = \int R(t, \tau) f(\tau) d\tau \tag{2}$$

R(t, z) — наследственная функция бетона второго рода.

Напряжения $a_{ij}(t)$ исходной упруго-мгновенной задачи и случае температурных (усадочных, влажностных и др.) ноздействий можно представить в виде [1]

$$z_{ij}(t) = z_{ij}(t) \Gamma(t) \tag{3}$$

где эд (1) решение упруго-мгновенной задачи при I (1) — 1, определяемое выражением

$$\sigma_{ij}(t) = \alpha i_0 E(t) F_{ij}(x, y, z)$$
 (4)

 $\Gamma(t)$ и $F_{ij}(x, y, z)$ безразмерные функции координат, а и z_0 константы.

Полные напряжения с учетом выражений (3) и (4) представляются в виде

$$\pi_{i}(t) = \pi_{i}(t) H(t, \pi_{i}) \tag{5}$$

FAC

$$H(t, \tau_1) = (1 - R^*) \Gamma(t) \tag{6}$$

Если принять, что изменение модуля мгноненной деформации бетона во времени аппроксимируется зависимостью

$$E(t) = E_0(1 - be^{-tt}) (7)$$

то выражение (5) окончательно можно представить в виде

$$\sigma_{t,t}^*(t) = \widetilde{\sigma_{t,t}} H(t, \tau_1) \tag{8}$$

гле

$$H(t, z_1) = (1 - be^{-it}) \overline{H}(t, z_1)$$
 (9)

$$z_{ij} = E_0 \pi \varepsilon_0 F_{Ii}(x, y, z) \tag{10}$$

Таким образом, для определения полных напряжений з, (t) в бе-

тонных конструкциях достаточно иметь напряжения π_i , соотнетствующей упругой задачи с модулем E = const от единичного воздействия $(1^i(t) = 1)$ и функцию $H(t, \tau_i)$, которая определяется по заданным кривым релаксации и изменения модуля миновенной деформации бетона по премени.

Определение нопряжении э... Упругие папряжения э., температурной явдачи достаточно просто можно определять на моделях метолами фотоупругости. Обзор метолов определения термоупругих на-

пряжений с применением поляризационно-оптических измерений принеден в работе [5].

В ряде случаен наиболее просто термоупругие напряжения на моделях можно определить методом "замораживания" снободных температурных деформаций [4, 5, 7]. Согласно этому методу модель, геометрически подобная натуре, составляется путем склеинания из наементов, в которых предварительно "заморожены" деформации, соответствующие свободным температурным (или усадочным). Напряжения в модели, соответстиующие искомым температурным (или усадочным), позникают при "разморажинании" модели. Для их определения применяются объечные методы фотоупругости.

Определение и исследование функции $H(t, z_1)$. Функция $H(t, z_1)$ при различных значениях переменных t и z_1 определяется на уравнения (6). При втом оператор R^* определяется по заданным криным разлисации. Для средних значений параметров бетона можно пользоваться таблицами, принеденными в работе [1].

В работе [1] показано, что $H(t,\tau_t)$ в случае стационарных вынужденных деформация ($\Gamma(t)=1$)—монотонно убывающая функция, при втом

$$H(t,\tau) \quad \text{при} \quad t=\tau_t \tag{11}$$

Н

$$0 < \overline{H}(t, \tau_1) = 1 - \lim_{t \to -\infty} R^{\bullet} \cdot 1 < 1 \tag{12}$$

Как видно из ураннения (б), в случае нестационарных вынужденных деформаций функция $H(t, \tau_t)$ определяется не только механическими спойствами бетона (функцией $R(t, \tau)$), но и характером ноздействий (функцией $\Gamma(t)$).

Можно показать. что если $\Gamma(t)=0$ и непрерывна в интервале времени $[z_1,\ t_2]$, в интервале $[z_1,\ t_1]$ не убынающая, а в $[t_1,\ t_2]$ убынающая, причем $0=\Gamma(z_1)=\Gamma_0>0$, $\Gamma(t_1)>0$, то внутри интервала $[t_1,\ t_2]$ найлется такое значение $t=t^*$, где $H(t^*,\ z_1)=0$. Действительно,

при
$$t=t_1$$
, $\overline{H}(t,z_1)=\Gamma_0=\int\limits_0^{t_1}R(t_1,z)\Gamma(z)\,dz$ при $t=t_1$ $\Gamma(z)=\int\limits_0^{t_1}R(t_2,z)\Gamma(z)\,dz$

Применяя теорему о среднем, получим

$$\overline{H}(t_1, \tau_1) = \Gamma_0 - \Gamma(\xi) \int_0^t R(t_1, \tau) d\tau = \tau_1 < \xi < t_1$$
(13)

$$H(t_{i}, z_{i}) = -\Gamma(t_{i}) R(t_{i}, z_{i}) dz, \quad t_{i} < t_{i}$$
(14)

Учитывая условие (12) и то, что — а $I'(\cdot_i) > 0$, получим $H(t_1, \cdot_1) > 0$ и $H(t_2, \cdot_1) < 0$. Так как функция $H(t, \cdot_1)$ при принятых условиях и интервале $[t_1, t_2]$ непрерывча, монотонно убывает и на концах интернала принимает значения разных знакон, то в этом интернале обизательно наидется одно значение $t = t^{\bullet}$, где $H(t^{\bullet}, \cdot_1) = 0$. Момент премени t^{\bullet} определяется из уравнения

$$\Gamma(t^{\bullet}) = \int \mathcal{R}(t^{\bullet}, z) \Gamma(z) dz \tag{15}$$

Представляет интерес следующая задача. Пусть функции поэлействия представлена и виде

$$2(t) = \begin{cases} \Gamma(t), & \gamma_1 \leqslant t \leqslant t^q \\ \theta(t), & t > t^q \end{cases}$$
(16)

при этом $\Gamma(t)$ удовлетворяет принятым выше условиям и $\theta(t^*) = \Gamma(t^*)$. Какова должна быть $\theta(t)$, чтобы функция $H(t,\tau_1)$, следовательно, и полные напряжения, остались нулевыми при всех $t=t^*$.

На основании уравнения (б) имеем

$$9(t) = \int_{-1}^{t} \Omega(t) R(t, \tau) d\tau = 0, \quad t \geqslant t^{\circ}$$

Записав интеграл по интервалам [t, t] и [t, t] с учетом (16), получим

$$\mathcal{G}(t) = \int \mathcal{R}(t, \tau) \mathcal{G}(\tau) d\tau = \sigma(t) \tag{17}$$

TAC

$$\tau(t) = \int R(t, \tau) \Gamma(\tau) dt$$
 (18)

известная функция.

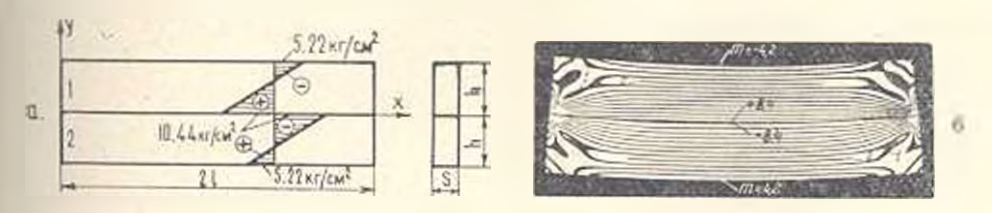
Ураниение (171 яваяется интегральным ураниением относительно искомой функции (t), решение которого имеет следующий нид:

$$\theta(t) = z(t) - \int_{\mathbb{R}} L(t, z) \, z(z) \, dz \tag{19}$$

Вдесь $L(t, \tau)$ руфильненти ядра $R(t, \tau)$.

Припеденный анализ показывает, что несмотря на постоянство знака нестационарных выпужденных деформаций, вызванные ими полные напряжения вследствие релаксиции могут менять спои знаки, что

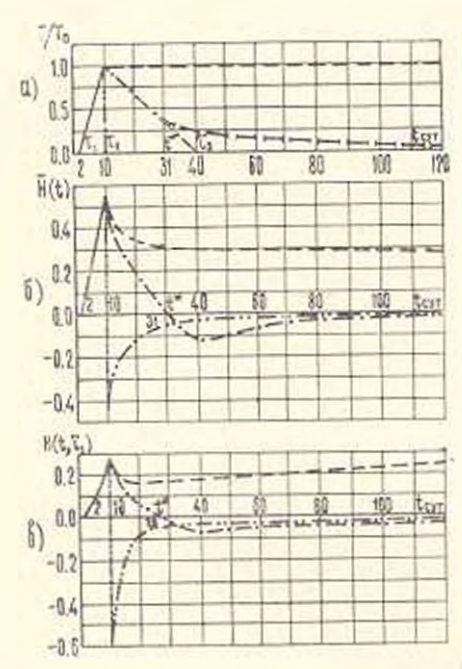
может привести к нарушению прочности конструкции. Кроме того, вредставляется возможным регулировать изменение полных напряжений подбором функций воздействия Ω (1).



Фиг. 1. Составная цанта при однородном температурном воздейстнии и эломентах. в схома и эпюра папряжений,

б-картина полос интерфоренции в модели,

В качестве примера рассматривается бетонная плита, составленная из двух элементов (фиг. 1a). Допустим, элемент 2 подвергается однородным пестационарным температурным воздействиям ($\Gamma_a = T/T_o$),



Фиг 2. Графики изменения температуры (6), функции H(t) = (6) и функции $H(t, z_1) = (6)$.

- нагрев по линейному закону,
- мгновенное охлаждение,
 - постоянная температура,
- · охимидение по линейному закону,
- 🔫 график температуры U(t).

а в элементе 1 эти воздействия отсутствуют (1, = 0). Требуется определить напряжения с учетом ползучести в бетонной плите, с предельным значением модуля деформации $E_0 = 2.6 \cdot 10^5 \, \kappa t \, cm^2$ и коэффи-

циентом линейного температурного расширения $x = 1.0 \cdot 10^{-3} (2pa_A)^{-1}$ от указанных воздействий.

Случай 1. Старение бетона не учитывается. Элемент 2 подвергается однородному нагрену по линейному закону от температуры 0 С до $T_0=8$ С в течение $\tau_2=\tau_1=8$ сит., $T(t)=\frac{T_0}{T_0}$ $(t-\tau_1)$, а затем:

1) мгновенно охлаждается до 0 С,

ния температур принедены на фиг. 2а.

- 2) температура остается постоянной, рапной $7_{\sigma} = 8$ C.
- 3) влемент охлаждается по линейному закопу $T(t) = \frac{1}{3}$ от 8 С до 0 С в течение $\tau_3 = -30$ сут. Графики измене-

Для определения термоупругих напряжений модель из онтически-чувствительного материала $\partial \mathcal{A}6$ -М склеинается из двух элементов, в одном из которых предварительно изамораживаются" свободные деформации при одноосном растяжении ялемента. Искомые термоупругие напряжения в модели создаются путем ее правмораживания". Такая задача исследована в работе $[5]^r$. Размеры модели: 2l=9.6 см., 2h=2.8 см., S=0.58 см., оптическая постоянная материала модели $z_1^{(1)}=0.277$ кl см., изамороженные" деформации в элементе 1 модели $-\varepsilon_A=\varepsilon_B^r E$. Напряжения в модели определяются выражением

$$z_{\rm M} = \frac{z_{\rm M}^{(1-0)}}{z_{\rm M}} m = \frac{0.077}{0.58} m = 0.478 m \tag{10}$$

Напряжения в геометрически подобной натуре определяются формулой [4]

$$\tau_c = \frac{E_s}{E_w} \frac{\varepsilon_g - \varepsilon_c}{\bar{\epsilon}_g - \bar{\epsilon}_c} \tau_g$$
 (21)

С учетом значений $\epsilon_p = \epsilon = \alpha T_0 = 1.0 \cdot 10^{-3} \cdot 8 = 8 \cdot 10^{-3}$, $E_{\rm M}(\epsilon_p = \epsilon) = E_{\rm M} \epsilon_{\rm A} = 8 \frac{\kappa I}{c_{\rm M} \epsilon}$, $E_{\rm M} = E_0 = 2.6 \cdot 10^3 \frac{\kappa}{c_{\rm M} \epsilon}$ получим

$$z_{11} = \frac{2.6 \cdot 10^{-1} \cdot 8 \cdot 10^{-1}}{2} \cdot 0.478 \ m = 1.243 \ m \tag{22}$$

где порядки полос *т* определяются по картине полос интерференции (фиг. 16). Эпюра напряжений по сечению плиты приведена на фиг. 16.

Функция H(t) для принятых температурных полей определяется из уравнения (6) при $R(t, \cdot) = R(t - \cdot)$ и $\Gamma(t) = T(t) T_0$

$$\overline{H_1(t)} = \frac{1}{T_0} \left[T_1(t) - \int_0^t R(t-t) T_1(t) dt \right] \qquad (z_1 - t < z_2 - 0) \quad (23)$$

$$H_1(t) = -\frac{1}{2} \{ R(t-1) T_1(1) d^2, (-1) < t < \infty \}$$
 (24)

$$\overline{H}_{2}(t) = \overline{H}_{1}(t) + \frac{1}{T_{0}} \left| T_{1}(t) - \frac{1}{T_{0}} \left| T_{2}(t) - \frac{1}{T_{0}} \left| T_{1}(t) - \frac{1}{T_{0}} \left| T_{2}(t) - \frac{1}{T_{0}} \left| T_{2}(t) - \frac{1}{T_{0}} \left| T_{1}(t) - \frac{1}{T_{0}} \left| T_{2}(t) - \frac{1}{T_{0}} \left|$$

$$\overline{H}_{\mathfrak{d}}(t) = \overline{H}_{\mathfrak{d}}(t) + \frac{1}{T_{\mathfrak{d}}} \left[T_{\mathfrak{d}}(t) - \sqrt{R(t-\tau)T_{\mathfrak{d}}(\tau) d\tau} \right]. \tag{26}$$

$$\overline{H}_{s}(t) = \overline{H}_{s}(t) = \frac{1}{T_{s}} \int_{0}^{t} R\left(t - z\right) T_{s}(z) dz, \quad (\tau_{s} = t < z)$$
 (27)

 \mathbf{B} интегралах $\int_{-\infty}^{\infty} R(t-z) T_{i}(z) dz$ подстановкой

$$T_i(\tau) = \alpha_i \tau + B_i \tag{28}$$

$$R(t-1) = A_{10}^{-1}(t-1) + A_{10}^{-1}$$

$$(i = 1, 2, 3; \quad i = 1, 2)$$
(29)

получаем

$$\int_{0}^{2\pi i} R(t-\tau) T_{\ell}(\tau) d\tau = M_{\ell}(\tau_{\ell+1}, \tau_{\ell}) e^{-\pi_{\ell}\ell} - N_{\ell}(\tau_{\ell+1}, \tau_{\ell})$$
(30)

$$M_{i}(z_{j+1}, z_{j}) = \frac{A_{i}}{z_{1}} \left[\left(a_{i} z_{j+1} - b_{i} - \frac{a_{i}}{z_{2}} \right) e^{z_{i} z_{j+1}} - \left(a_{i} z_{j} + b_{i} - \frac{a_{i}}{z_{2}} \right) e^{z_{i} z_{j}} \right]$$

$$N_{i}(z_{j+1}, z_{j}) = \frac{A_{i}}{\rho_{2}} \left[\left(a_{i} z_{j+1} + b_{i} - \frac{a_{i}}{\rho_{2}} \right) e^{z_{i} z_{j+1}} - \left(a_{i} z_{j} + B_{i} - \frac{a_{i}}{\rho_{2}} \right) e^{z_{i} z_{j}} \right]$$

$$(31)$$

Подставляя значения параметров для "старого" бетона из работы [1]

$$A_1 = 0.024 (cym)^{-1};$$
 $A_2 = 3.452 (cym)^{-1}$
= 0.007 (cym)⁻¹; $\phi_2 = 9.438 (cym)^{-1}$ (33)

и принимая $\tau_1 = 0$, $\tau_2 = 8 \ cym$, $\tau_3 = 38 \ cym$, из формул (23)—(27), с учетом обозначения (28)—(32), получим окончательные выражения для функции $H_t(t)$

для интервала (0 < t < 8), i = j = 1, $a_i = T_0/8$, $b_i = 0$

$$H_1(t) = 0.655 + 0.035 t - 0.650 e^{-0.06t} - 0.005 e^{-9.438t}$$
 (34)

для интерпала (8 $t < \infty$) при i = j = 1, $a_1 = T_0 8$, $b_1 = 0$.

$$H_1(t) = 4.650 \cdot 10^{30} \, e^{-9.438t} - 0.400 \, e^{-0.067t}$$
 (35)

для интервала (8 $t<\infty$) при $i=j=2, \; a_1=0, \; b_2=T_0,$

$$H_{s}(t) = \tilde{H}_{s}(t) = 0.597 e^{-1.067t} + 4.710 \cdot 10^{50} e^{-9.438t}$$
 (36)

для интервала (8 $t \le 38$) i = 3, j = 2, $a_3 = -T_0/30$, $b_3 = 16T_0/15$,

$$\overline{H}_3(t) = H_1(t) = 0.184 = 0.009t = 0.890 e^{-0.438t} = 4.714 \cdot 10^{10} e^{-0.438t}$$
 (37)

для интервала (38 $t < \infty$) i = 3, j = 2, $a_s = -T_0/30$, $b_s = 16 T_0/15$,

$$H_3(t) - H_3(t) = 3.075 \cdot 10^{148} e^{--9.438t} = 1.350 e^{-0.067t}$$
 (38)

Трафики изменения полученных функций $H_{\epsilon}(t)$ приведены на фиг. 26.

Случай II. Элементы плиты выполнены из "стареющего" бетона одинакового возраста. Термоупругие напряжения так в этом случае также определяются по формуле (22).

Функции $H_{i}(t, \tau_{i})$ для соотнетстнующих интерналов времени определяются по формулам (23)—(27), заменяя в них $R(t-\tau)$ на $R(t,\tau)$. Интегралы, входящие в эти формулы, вычисляются численными методами при $\tau_{i}=2$ сут, $\tau_{i}=10$ сут, $\tau_{i}=40$ сут на основании таблиц $R(t,\tau)$ [1].

Искомые функции $H(t, \tau_1)$ определяются по формуле (9) при b=1, $\tau=0.206$ (сут) τ . Графики этих функций представлены на фиг. 2в. Полные напряжения τ^* (t) в плите из "старого" или "стареющего" бетона для различных моментов времени опредсляются ум-

ножением $z_{\kappa,i}$ из соответствующие ординаты графиков \overline{H}_i (t) (фиг. 26) или H_i (t, z_i) (фиг. 28).

На фиг. 2 видно, что как в случае "старого", так и "стареющего" бетонов при мгновенном охлаждении и охлаждении по линейному закопу до 0 С полные напряжения меняют свои знаки. При охлаждении по липейному закону полные напряжения достигают пулевых значений при $t=t^*$. Значения t, определяемые графическим решением уравнения (15) равны 31 гл. для "старого" и 28 сут для "стареющего" бетона.

Из уравнения (19) можно определить закон изменения температуры f(t) в элементе 2 для $t > t^n$, при котором полные напряжения в плите останутся нудеными.

Например, для "старого" бетона, полставив в ураннение (19)

$$z(t) = B_1 e^{-zt} - B_2 e^{-zt}$$
 (39)

$$L(t-z) = E_0[z_1 b_0 e^{-z_0(t-z)} + z_2 b_0 e^{-z_0(t-z)}]$$
 (40)

$$\theta(t) = K_1 e^{-\tau t^2} + K_2 e^{-\tau t^2} + K_3 e^{-\tau t^2} + K_4 e^{-\tau t^2} + K_5 e^{-\tau t^2} + K_6 e^{-\tau t^2}$$

$$(41)$$

где

$$B_{1} = M_{1} (z_{0}, z_{1}) + M_{3} (\ell^{*}, z_{0}), \quad B_{2} = N_{1} (z_{2}, z_{1}) + N_{3} (\ell^{*}, z_{0})$$

$$K_{1} = -B_{1} \frac{E_{0}}{z_{1} - \ell_{1}}, \quad K_{2} = B \frac{E_{0}}{z_{2} - \ell_{1}}, \quad K_{3} = B_{2} \frac{E_{0} z_{1} z_{0}}{z_{1} - z_{2}}$$

$$K_{4} = -B_{2} \frac{E_{0} z_{2} \Delta_{3}}{z_{3} - z_{2}}, \quad K_{5} = B_{1} - K_{1} - K_{5}, \quad K_{6} = B_{2} - K_{3} - K_{1}$$

$$z_{1} = 0.03 (cym)^{-1}, \quad z_{0} = 6 (cym)^{-1}$$

$$z_{0} = 0.756 \cdot 10^{-3} \frac{c_{1} \ell}{\kappa \ell}, \quad \Delta_{0} = 0.219 \cdot 10^{-5} \frac{c_{2} \ell \ell}{\kappa \ell}$$

Значения коэффициентов M_1 , M_2 , N_3 , N_4 , определяются по формулам (31) и (32).

С учетом обозначений (42) выражение (41) примет окончательный вид

$$0(t) = 0.584 e^{-0.03t} - 0.034 e^{-0.007t} - 1.010 \cdot 10^{55} e^{-4t} - 1.780 \cdot 10^{122} e^{-0.438t}$$

График этой функции показан на фиг. 2а.

Инжемерно-строит льный институт им. В. В. Куйбышева

floerymaa 10 XI 1971

Դ. Ս. ՎԱՐԴԱՆՈԱՆ, Վ. Դ. ՇԵՐԵՄԵՏ

ՖՈՏՈԱՌԱՉԴԱԿԱՆՈՒԹՑԱՆ ՄԵՐՈՐԻ ԿԻՐԱՌՈՒՄԸ ՔԵՏՈՆՅԱ ԿՈՆՈՏՐՈՒԿՑԻԱՆԵՐՈՒՄ ՍՏԻՊՈՂԱԿԱՆ ԴԵՖՈՐՄԱՑԻԱՆԵՐԻՑ ԱՌԱԶԱՑԱԾ ԼԱՐՈՒՄՆՈՐԻ ՈՐՈՇՄԱՆԸ ՍՈՂՔԻ ՊԱՅՄԱՆԵՐՈՒՄ

Հոդվածում դիտարկվում է բետոնյա կոնոտրուկդիաննրում ստիպողական դեֆորմացիաներից տատչացած լարումների որոշման հղանակ դժային տորչ Հաշվատումով Համապատասխան առաձղական խնդրի ծայտնի էջոպերիմենտալ լումման հիման վրաշ Առաձդական լարումները որոշվում են մոդելների վրա ֆոտոասաձգականության մեքեղով։

Դիտարկված է երկչերտ բետոնյա սալում տարրեր՝ չերմային հերգործու-Ոյունների դնարում լրիվ լարումների որոշման օրինակ։

USAGE OF PHOTOELASTIC METHOD FOR DETERMINATION OF STRESS DUE TO STRAINS UNDER CREEP CONDITIONS IN CONCRETE STRUCTURES

G. S. VARDANIAN, V. D. SHEREMET

Summary

The method for stress determination under linear creep due to strains in concrete structures, based on the known solution of the corresponding elastic problem, is given in the article. Elastic stresses are determined on models by the polarization method.

An example of full stress determination in a double-layered concrete slab under different temperature effects is also examined.

AHTEPATYPA

- Александровский С. В. Расчет бетонных и железобетонных конструкций на температурные и влажностные воздействии. Стройнадат, М., 1966.
- 2. Арушинян Н. Х. Некоторые вопросы теории поляучести. Гостехтеориздат, М., 1952.
- 3. Варданям Г. С., Мусатов А. Г., Павдов В. В. Моделирование поляучести элечентов строительных конструкций полиризационно-оптическим методом. Сб. трудов МИСИ им. В В Куйбышева, Моделирование задач динамики, термоупругости и статики поляризационно-оптическим методом, № 73, 1970, стр. 84—96.
- 4. Вардинян Г. С., Пригоровский Н. И. Моделирование термоупругих напряжений в поляризационно-оптическом методе. Изв. АН СССР, ОТН, Механика и машиностроение, № 4, 1962, стр. 146—149.
- Варданян Г. С., Пригоровский Н. И. Методы определения термаупругих напряжения. Поляризационно-оптический метод неследования напряжений. АГУ, 1966, етр. 274—236.
- Хесин Г. А., Варданян Г. С., Мусатов А. Г. Моделирование получести влечению богонных конструкций поляризационне-оптическим методом. Тр. VII Всесоюзной конференции по поляризационне-оптическому методу исследования попряжений, Таллии, 1971.
- Хесин Г. А., Долгополов В. В., Савостоянов В. Н. Исследование термонапряженного состояния бетонных блоков гидрогехнических сооружений методом фотоупругости Гидротехническое строительство, № 12, 1968.